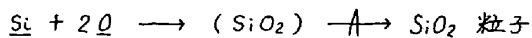


(155) 冷却凝固過程における SiO_2 介在物の生成東北大学 金属材料研究所 ○坂上六郎
井上興士

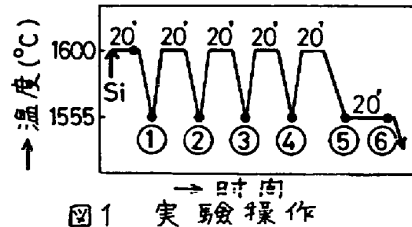
I. 緒言 前報では Si 脱酸後 ($\text{Si} 0.04 \sim 0.8\%$, 1600°C) 平衡状態にある SiO_2 坩堝中の溶鉄 ($\sim 600\text{g}$) の加熱冷却を図 1 の要領でくりかへし、冷却途中 1555°C に到達した①, ②, ③ … の時刻で採取した試料中の SiO_2 介在物の大きさ、形態などを論じたが、今回はこれら各時刻の溶解酸素値および介在物の大きさ、数、分布の定量的測定結果をもとに、生成構造を考察した結果を報告する。

II. 実験方法 上記の要領で Cu サンプラー (内径 $4\text{mm}\phi$)、シリカチューブ ($4\text{mm}\phi$)、シリカサンプラー ($10\text{mm}\phi$) によって採取した試料の、凝固方向に平行および垂直な断面の観察、抽出した介在物の観察から、試料断面の介在物の分布、試料中に含まれる粒子数または介在物の粒度分布、形態などを調べた。溶解酸素は ^{31}Si を装入したシリカサンプラーで採取した試料中の SiO_2 介在物の放射能を測定して求めた。

III. 実験結果と考察 図 2 に $0.1\% \text{Si}$ 脱酸後各時刻の介在物の粒度分布を示したが、介在物は $\sim 1\mu\text{m}$ の小粒子 (デンドライト状のものを含む), $3 \sim 4\mu\text{m}$ の中粒子, $5 \sim 20\mu\text{m}$ の大粒子と 3 種の大きさのものから成り立っており、このうちとくに中粒子と大粒子は ① → ④ と次第に大きくなる。また大粒子は試料断面に at random に分布しているが、中粒子は外周から $\sim 100\mu\text{m}$ の外周部には存在せず、中心部ほど多発する傾向がある。一方小粒子は cell の境界に選択的に存在する。粒子数と分布に関するこれらの事実から、大粒子は 1600°C から 1555°C の冷却過程で生成成長したものであり、中粒子は試料の凝固時に固液界面の前方で生成成長したもの、また小粒子は最終凝固相である cell 境界に生成したものと解される。図 3 は試料中に含まれる大粒子数 (同図) と図 2 の大粒子の粒度分布から計算した大粒子の酸素量 O_b (大粒子) とくりかへし回数の関係を示したが、① → ④ と大粒子数はかなり減少し、これに対応して酸素量は減少する。ところで ① → ⑥ 各時刻の溶解酸素値は、表 1 のようにいずれも $\sim 125\text{ ppm}$ とほぼ 1555°C の平衡酸素値に低下している。 1600°C の溶鉄初酸素濃度は 185 ppm であるから、やく 60 ppm の酸素が結合状態で存在することが明らかとなった。(図 3 の実線) すなわち ① → ④ 各時刻の溶鉄中には、 $5 \sim 20\mu\text{m}$ の大粒子以外に $\Delta O_b = 60 - O_b$ (大粒子) に相当する結合酸素が存在していることになる。これを (SiO_2) と表わすと、 (SiO_2) の生成は、溶解酸素が冷却条件および回数によらずいつでも平衡直近傍に低下することから、溶鉄中ではとくに過飽和度を必要とすることなく容易に進行すると考えられる。このような結果から、冷却凝固過程における SiO_2 介在物の生成は、次のように進行すると解される。



このような立場にたって、 SiO_2 介在物の生成構造を論ずる。(表 1 実験 I, II の冷却所要時間は $\sim 35''$ と $20''$)



	①	②	③	④	⑤	⑥
I ($35''$)	125	128	111	116	124	129
II ($20''$)	115	123	119	120	116	124

表 1 1555°C への冷却速度をかけた実験 I, II の溶解酸素値 (ppm)

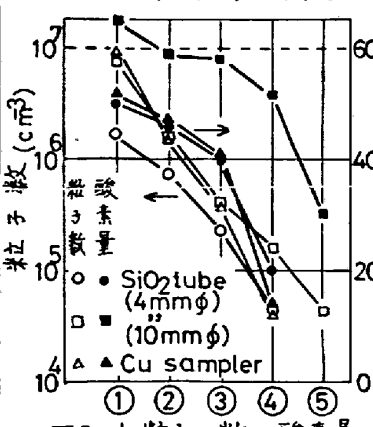


図 3 大粒子の数と酸素量

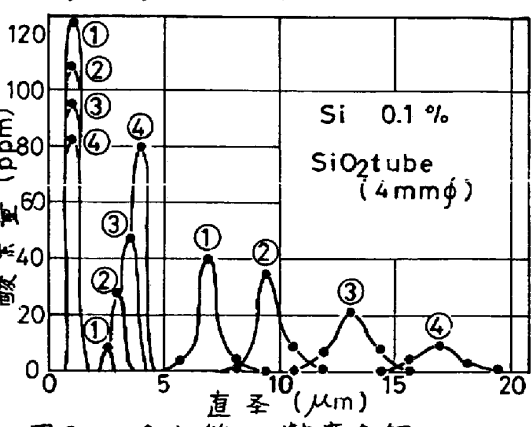


図 2 介在物の粒度分布